

"OBSTRUCTIVE SLEEP APNEA" SENDROMUNDA SEFALOMETRİK DEĞERLENDİRME

O. BENGİ*, H. ÖLMEZ**, D. SAĞDIÇ*, Ü. GÜRTON***,
M. GEREK****

ÖZET: Bu çalışmada OSA tanısı konmuş erişkin 20 bireye ait lateral sefalometrik filmler üzerinde intrakranial referans noktaları yardımcı ile gerçekleştirilen açısal, çizgisel ve alan ölçümleri değerlendirilerek OSA olgularının ortak özellikleri ve iskeletsel 1., 2. ve 3. Sınıf olgularla farklılıklarının ve benzerliklerinin ortaya konması amaçlanmıştır. Kontrol grubu olarak OSA'nın subjektif semptomlarından hiçbirini taşımayan erişkin 60 bireyin lateral sefalometrik ölçümleri kullanılmış ve kontrol grubu iskeletsel 1., 2. ve 3. Sınıf özellikler taşıyan alt gruplara ayrılmıştır. OSA grubu ile diğer üç grup arasındaki farklılar non-parametrik Mann Whitney-U testi ile istatistiksel olarak değerlendirilmiş ve OSA grubunun ortak özellikleri ile gruplar arası farklılıklar ortaya konmaya çalışılmıştır. Bulgular incelenliğinde OSA grubunu diğer üç gruptan ayıran ortak özelliklerin kranioservikal açısından artış, yumuşak damak uzunlığındaki fazlalık ve nazofaringeal alandaki daralma olduğu tespit edilmiştir.

Anahtar Kelimeler: OSA (Obstruktif Uyku Apnesi), nazal obstruksiyon, kraniofasiyal morfoloji.

SUMMARY: CEPHALOMETRIC EVALUATION IN "OBSTRUCTIVE SLEEP APNEA" SYNDROME. In this study, linear, angular, and area measurements of lateral cephalometric radiograms of 20 adult OSA cases were compared with those of 60 adults who do not have any subjective signs and symptoms of OSA. The control group was divided into skeletal Cl.1, Cl.2 and Cl.3 subgroups to determine the differences and similarities of OSA cases with controls who have different skeletal patterns. Comparisons were made by means of non-parametric Man Whitney-U test. Increases in craniocervical angulation and soft palate length and decreases in nasopharyngeal area were found to be the common differences between OSA and skeletal Cl.1, Cl.2, and Cl. 3 cases.

Key Words: OSA (Obstructive Sleep Apnea), nasal obstruction, craniofacial morphology.

GİRİŞ

Tarih kitapları Büyük İskender döneminde (M.Ö. 360) Karadeniz Ereğlisinde yaşanan Dionysius'un OSA'nın tüm belirtilerini taşıdığını, aşırı şişman olduğunu ve gün boyu sık sık uyukladığını ve horladığını ve hatta apneye girdiği zaman iğne batiırlarak uyandırıldığını yazmaktadır. Daha sonraki yıllarda uyu apnesi şişmanlıkta olan solunum zorluğu ve nabızda zayıflama olarak yorumlanmıştır. 19 yüzyılın sonlarına doğru İngiliz araştırmacılar burun tıkanıklığı ve Farengeal hastalıklara bağlı solunum problemlerini açıklamaya başlamışlar 1956 yılına kadar aşırı şişmanlıkla beraber görülen hipoventilasyon ve horlama "Pickwick Sendromu" olarak isimlendirmiştir. Daha sonraki yıllarda özellikle 1957 de Chicago Üniversitesinde uyu fizyolojisi çalışmaları, 1965 yılında polisomnografik çalışmalar ve nihayet 1973 de Stanford Üniversitesi'ndeki çalışmalarla OSA terimi tıp literatürüne sokulmuştur (1, 7, 8, 11).

Uyu apnesinin Türk Tıp Literatüründe 15 yıllık bir geçmişi vardır. Son dönemlerde OSAlarındaki bilgilerin hızla artışı ve uyu laboratuvarı çalışmaları kardio-pulmoner sorunları da olan bu rahatsızlığın daha iyi tanınmasını sağlamıştır. Genel populasyonda yaşıları 30-35 olanlar arasında erkeklerde %20, kadınlarda ise %5 habituel horlama şikayetleri vardır ve bu şikayetler yaş ilerledikçe artmaktadır. 60 yaş ve yukarısında bu oran erkeklerde %60 kadınlarda %40 kadar yükselmektedir. Horlama alışkanlığı olan bu kişilerin %35 inde apnea bulunmaktadır (16). Bilindiği gibi apnea ağız ve burun yolu ile yapılan solunumun 10 sn. veya daha fazla durmasıdır. Bir saatlik uyu dönemindeki apnea sayısına ise "Apnea İndeks" denmektedir. Apnea 3 tip halinde tanımlanmaktadır (3, 7):

* Obstruktif Apnea: İspirasyon çabasına rağmen solunumun durması.

* Santral Apnea: İspirasyon çabası ile solunumun durması.

* Mixed Apnea: Her iki tip apnea'nın birarada görülmesi.

OSA tanısı konan hastalarda Apnea-Hypopnea İndeksi 30 dan büyük ölçülmekte ve apnea epizotları ortalama 20-30 sn. nadiren de 100 sn. sürmektedir.

Horlama yumuşak damağın vibrasyonu sonucu oluşan sesin orofaringeal pasajdan geçmesi ile oluşmaktadır ve

* Doç. Dr. GATA Dişhekimliği Bilimleri Merkezi Ortodonti A.D.

** Yrd. Doç. Dr. GATA Dişhekimliği Bilimleri Merkezi Ortodonti A.D.

*** Dr. Dt. GATA Dişhekimliği Bilimleri Merkezi Ortodonti A.D.

**** Yrd. Doç. Dr. GATA Kulak Burun Boğaz A.D.

bu bölgedeki kasların tonuslarındaki azalma ile orantılı olarak horlamanın şiddeti artmaktadır. Ayrıca insiprasyon sırasında oluşan negatif basınçla bağlı olarak bu bölgede sekonder olarak obstruksiyon meydana gelmekte ve oluşan hava turbulansı artarak horlamanın da şiddetini artırmaktadır. OSA de horlama, gece uyanmaları, gündüz uykularını hastalığın başlıca semptomlarından olmasına karşın bu şikayetlerin değerlendirilmesi ve tedavi kapsamı bir fiziki muayene ve geliştirilmiş uyku laboratuvar çalışmaları polisomnografik kayıtlar, sefalometrik inceleme, bilgisayarlı tomografi, somnofloroskopi, manyetik rezonans görüntüleme, tepleradyografi ve akciğer grafisi gibi teşhis metodlarının kullanımını gerekliliğinde kılmaktadır. OSA de geniş bir semptomlar listesi vardır, kısaca her horlayan OSA değildir ancak horlama OSA semptomlarından biridir (3, 7, 10, 11, 15).

Günümüzde baş-boyun morfolojisini ve postürünu açıklamada "Fonksiyonel Matriks" teorisi kullanılmaktadır. Baş ve boyun postürüne gelişmesindeki ana etkenler arasında farengeal hava yolunun açık tutulması, kasların propriozeptif stimulusları ile başlayan refleksler, başın yerçekimine karşı koyması ve doğumla beraber gelişen görme refleksi gösterilmektedir.

Doğal baş pastürü ile kraniofasiyal morfoloji arasındaki fonksiyonel ilişkiler 1926 da Schwarz tarafından incelenmiş ve II. Sınıf malokluzyonlara başın ekstansiyonunun etkisi belirtilmiştir. Björk (1951) yine postür ile morfoloji arasındaki ilişkiyi araştırmış düz kafa kaidesi tabanına sahip bireylerin başlarını yukarıya kaldırarak eğiliminde olduklarını, eğimli kafa kaidesi tabanına sahip bireylerin ise, başlarını eğdiklerini belirtmiştir. Nazal obstruksiyonların kranioservikal postürü etkilediği, ağız solunumuna ve kranial morfolojik değişikliklere yol açtığı bildirilmiştir. Nazal obstruksiyonların tek başına kraniofasiyal yapıda etkili olmadıkları servikal postürü etkiledikleri ve servikal postürün kraniofasiyal yapıda değişiklik yapacak kadar güçlü olduğu araştırcılar tarafından ortaya konmuştur (9, 18, 19).

Solunum yolu obstruksiyonlarında kraniofasiyal yapıda oluşan değişiklikler arasında sıklıkla; artmış total ön yüz yüksekliği ve alt ön yüz yüksekliği, azalmış arka yüz yüksekliği, daralmış kafa kaidesi tabanı, retrüziv yüz tipi, derin ve dar damak kubbesi, artmış maksiller eğim, retrüziv ve posterior rotasyon yapan mandibula, aşağı ve önde konumlanmış dil, önde konumlanmış hyoid kemik ve protruziv servikal kolon eğimine rastlanmaktadır (6, 14, 18).

Tallgren ve Solow (17) farklı yaş gruplarında hyoid kemigin konumunun servikal kolonla ilişkisinin önemli düzeyde korelasyon gösterdiğini, mandibuler yapılarında bu ko-

relasyonun görülmemişini bunun da sebebinin hyoid kemigin laringeal kartilajlarla sıkı anatomik ve fonksiyonel ilişkide bulunması olduğunu bildirmiştirlerdir. Oslo Üniversitesi'nde 25 OSA olgusu üzerinde yapılan çalışmada hyoid kemigin normalden daha aşağıda konumlandığı görülmüştür (12). Araştırcılar başın ekstansiyonu ile hyoid kemik arasında da korelasyon olduğunu, hyoid kemigin önde ve aşağıda konumlandığını bildirmiştir (13). Hyoid kemije ait konumlanmanın saptanmasında vertebralara ait anatomik noktaların kullanılmasının daha doğru olacağı düşünülmektedir. Farklı dik yön gelişimine sahip bireylerde doğal baş konumunda elde edilen sefalogramlarda hyoid kemigin konumunun cinsiyet ve yüzün dik yön gelişimine bağlı olmadığı rapor edilmiştir (6, 20, 21).

Ayrıca ortognatik cerrahi girişimlerden mandibuler setback operasyonları sonrasında dilin geriye ve aşağıya taşınması hypofaringeal alanın daralmasına yol açmaktadır (2, 4, 22). Hypofaringeal alandaki daralmanın ise OSA'ye sebebiyet verdiği bildirilmiştir (5).

Farinks alanının büyümeye ve gelişimden etkilendiği prepubertal ve pubertal evrelerde daraldığı büyümeye ve gelişimin bitmesinden sonra en geniş alanı kapsadığı bilinmektedir.

Bu çalışmada amaç, intrakraniel sefalometrik açısal, çizgisel ve alan ölçümleri yardımcı ile OSA olgularına ait ortak özelliklerini ortaya koymak ve iskeletsel 1, 2, ve 3. Sınıf olgulardan oluşan kontrol grupperi ile istatistiksel olarak karşılaştırarak OSA olgularının kontrol grupperi ile benzer ve farklı yönlerini araştırmaktır. Bizi bu araştırmaya yönelik başlıca nedenler ise, ülkemizde OSA teşhisini konulabilecek merkezlerin sınırlı olması nedeniyle araştırmaların çok az sayıda olması ve OSA'lı olgular ile farklı iskeletsel yapılara ait bireylerin karşılaştırılmasına rastlanılmaması, ayrıca OSA ile ilgili sefalometrik araştırmaların çok çeşitli parametrelerin kullanılması ve karakteristik normların oluşturulamamış olmasıdır.

GEREÇ VE YÖNTEM

Çalışmamız GÜlhane Askeri Tıp Akademisi Kulak Burun Boğaz Anabilim Dalı ve Ortodonti Anabilim Dalı tarafından yürütülmüştür.

1991-1996 yılları arasında GATA Kulak Burun Boğaz Anabilim Dalı'na başvuran horlama ve gündüz uykulama şikayetleri olan OSA tanısı konmuş ve Apnea-Hypopnea İndeksi (AH/saat) 35 den yukarı olan (ortalama 40.468 5.642) erişkin 20 bireye ait lateral sefalogramlar alınmıştır. Olgulara OSA tanısı Psikiatri, Kardiyoloji, Hematoloji, Göğüs Hastalıkları ve Ortodonti Klinikleri ile konsülte edilerek; uyku laboratuvarı değerlendirmeleri, Polisomnografik kayıtlar, kardiyolojik, hematolojik, pul-

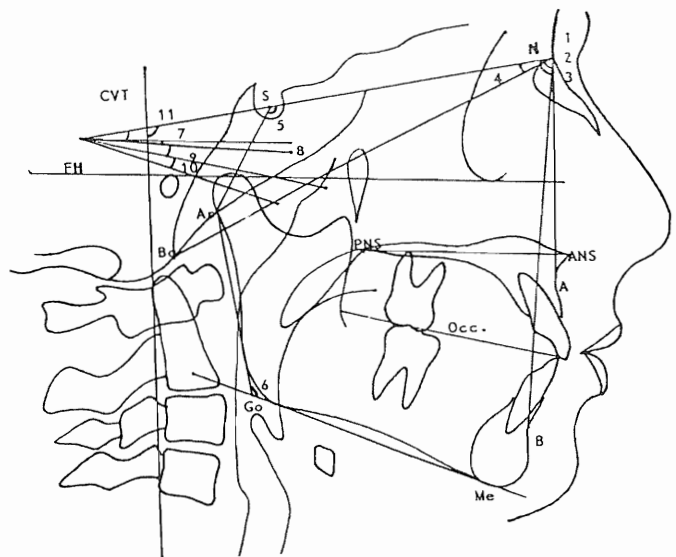
moner ve nazofarengeal hava yolu etkilerinin incelenmesi sonucunda konulmuştur. Lateral sefalogramları alınan bireyler iskeletsel ve dişsel herhangi bir sınıflamaya tabi tutulmamıştır. Kontrol grubu olarak anamnezlerinde nazal obstruksiyon, horlama, uykı apnesi gibi OSA'nın subjektif işaret ve belirtilerini taşımayan normal kilolu 60 erişkin bireye ait lateral sefalogramlar kullanılmış ve kontrol grubu ANB açıları gözönünde bulundurularak iskeletsel 1., 2. ve 3. Sınıf olmak üzere alt gruplara ayrılmıştır. OSA ve kontrol grubunu oluşturan bireylerde cinsiyet ve kilo açısından anormal bir dağılım göze çarpılmamıştır; OSA grubunu 7 kadın 13 erkek, 1. Sınıf kontrol grubunu 11 kadın 9 erkek, 2. Sınıf kontrol grubunu 8 kadın 12 erkek ve 3. Sınıf kontrol grubunu 9 kadın 11 erkek birey oluşturmaktadır. Iskeletsel sınıflamada ANB açıları 2 -4 arasında olan 20 olgu 1. Sınıf, ANB açıları 4 den büyük olan 20 olgu 2. Sınıf ve ANB açıları 0 den küçük olan 20 olguda 3. Sınıf olgu grubuna dahil edilmiştir.

OSA li olguların yaş ortalaması 44.2 olup yaşıları 38 ile 69 arasında değişmektedir. Kontrol grubu yaş ortalaması ise 41.3 olup yaşıları 32 ile 61 arasında değişmektedir.

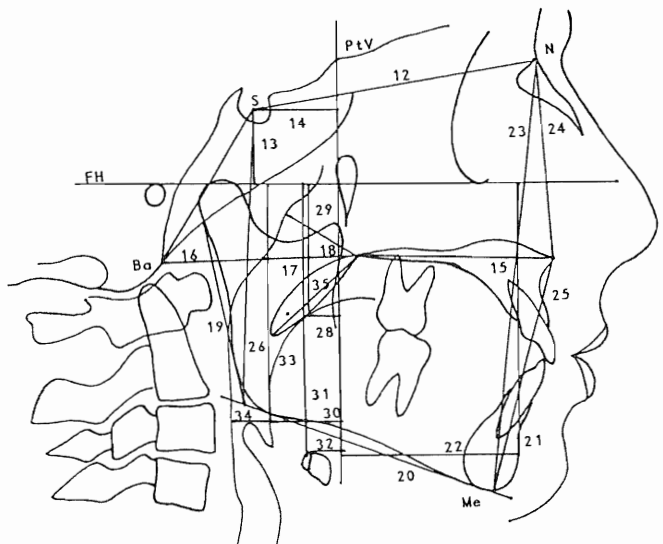
Bu araştırmada kullanılan 80 adet konvansiyonel yöntemle çekilen lateral sefalometrik radiogram üzerinde intrakraniel iskeletsel ve yumuşak dokulara ait noktalar yardımcı ile çizgisel ve açısal ölçümler gerçekleştirılmıştır. Alan ölçülerinin hesaplanmasında Intergraph 2430 çalışma istasyonu Macro Station yazılımında masaya 1/1 bağlanarak alan detayları sayısallaştırılmış ve kapalı poligon haline getirilerek alan ölçümleri gerçekleştirılmıştır. Sefalometrik analizde 38 parametre kullanılmış ve elde edilen değerler Mann Whitney-U testi yardımı ile istatistiksel olarak karşılaştırılmıştır. Gerek OSA ve gerek 1., 2. ve 3. Sınıf kontrol grubuna ait ölçümlerden elde edilen ortalama değerler ile grupların karakteristik yapılarını yansıtan yüz poligonları çizilerek SN düzleminde Sella noktasında çakıştırma yapılarak karşılaştırılmıştır.

Sefalometrik Analizde Kullanılan Açısal (Şekil-1), Çizgisel (Şekil-2) ve Alan (Şekil-3) Ölçümleri:

1. SNA: Sella-Nazion-A noktası arasındaki açı.
2. SNB: Sella-Nazion-B noktası arasındaki açı.
3. ANB: A noktası-Nazion-B noktası arasındaki açı.
4. NSBa: Nazion-Sella-Bazion arasındaki açı.
5. NSAr: Nazion-Sella-Artiküler nokta arasındaki açı.
6. ArGoMe: Artiküler nokta-Gonion-Menton arasındaki açı.
7. SN/FH: Sella-Nazion Düzlemi-Frankfort Düzlem arasındaki açı.

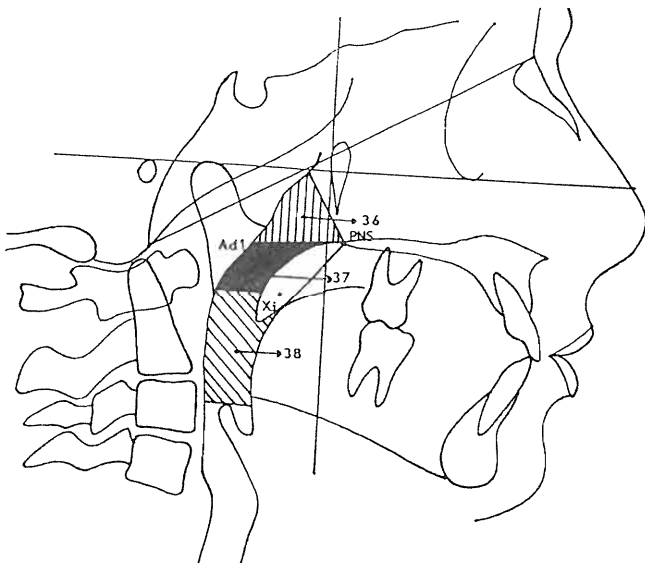


Şekil-1: Sefalometrik Analizde kullanılan açısal ölçümler:
1-SNA, 2-SNB, 3-ANB, 4-NSBa, 5-NSAr, 6-ArGoMe, 7-SN/FH,
8-SN/Occ., 9-SN/ANS-PNS, 10-SN/MGo, 11-CVT/SN.



Şekil-2: Sefalometrik Analizde kullanılan çizgisel ölçümler:
12-SN, 13-S-FH, 14-S-PtV, 15-ANS-PTV, 16-PNS-Ba, 17-Adi-PNS, 18-Ad2-PNS, 19-Ar-Go, 20-Go-Me, 21-Pog-FH, 22-Pog-PtV, 23-N-Me, 24-N-ANS, 25-ANS-Me, 26-S-Go, 27-S-Go/N-Me, 28-UTP-PtV, 29-UTP-FH, 30-LTP-PtV, 31-LTP-FH, 32-H-Ptv, 33-H-FH, 34-PAS, 35-Yumuşak Damak Uzunluğu

8. SN/Occ.: Sella-Nazion Düzlemi-Okluzal Düzlem arasındaki açı.
9. SN/ANS-PNS: Sella-Nazion Düzlemi-Spinalar Düzlemi arasındaki açı.
10. SN/MGo: Sella-Nazion Düzlemi-Mandibuler Düzlem arasındaki açı.



Şekil-3: Sefalometrik Analizde kullanılan alan ölçümleri:
36-Nazofarenks Alanı, 37-Orafarenks Alanı, 38-Laringofarenks Alanı.

11. CVT/SN: Sella-Nazion Düzlemi-Servikal kolon arasındaki açı.
12. SN: Sella Nazion arasındaki mesafe (Ön kafa kaidesi).
13. S-FH: Sella'dan Frankfort Horizontal Düzleme indirilen dikmenin uzunluğu.
14. S-PtV: Sella'dan Pterigoid Vertikal Düzleme uzatılan dikmenin uzunluğu.
15. ANS-PNS: Anterior Nazal Spina-Posterior Nazal Spina arasındaki mesafe.
16. PNS-Ba: Posterior Nazal Spina-Bazion mesafesi.
17. Ad. 1-PNS: Spina Nazalis Posterior ile Bazion'un birleştirilen doğruya kesen Adenoid dokuya ait nokta ile Spina Nazalis Posterior arasındaki mesafe.
18. Ad.2-PNS: Sella-Bazion doğrusuna dik açı yapacak şekilde Spina Nazalis Posteriordan çizilen doğruya kesen Adenoid dokuya ait nokta ile Spina Nazalis Posterior arasındaki mesafe.
19. Ar-Go: Artiküler nokta-Gonion mesafesi (Ramus yüksekliği).
20. Go-Me: Gonion-Menton mesafesi (Korpus boyu).
21. Pog-FH: Pogonion'dan Frankfort Horizontal Düzleme'ne uzatılan dikmenin uzunluğu.

22. Pog-Ptv: Pogonion'dan Pterigoid Vertikal Düzleme uzatılan dikmenin uzunluğu.
23. N-Me: Nazion-Menton mesafesi (Ön yüz yüksekliği).
24. N-ANS: Nazion,Spina Nazalis Anterior mesafesi (Üst ön yüz yüksekliği).
25. ANS-Me: Spina Nazalis Anterior-Menton mesafesi (Alt ön yüz yüksekliği).
26. S-Go: Sella-Gonion mesafesi (Arka yüz yüksekliği).
27. S-Go/N-Me: Sella-Gonion-Nazion-Menton oranı (Arka yüz-Ön yüz yükseklikleri oranı).
28. UTP-PtV: Dil sırtının Xi noktasından Pterigoid Vertikal Düzleme dik olacak şekilde çizilen çiziyi kestiği nokta (dil tepe noktası) ile PtV arasındaki uzunluk.
29. UTP-FH: Dil sırtının Xi noktasından Pterigoid Vertikal Düzleme dik olacak şekilde çizilen çiziyi kestiği nokta (dil tepe noktası) ile Frankfort Horizontal Düzleme arasındaki uzunluk.
30. LTP-PtV: Dil kökünün glossopiglotik çentikten Pterigoid Vertikal Düzleme dik olacak şekilde yatay yönde çizilen çiziyi kestiği nokta (dil alt noktası) ile PtV düzleme arasındaki uzunluk.
31. LTP-FH: Dil kökünün glossopiglotik çentikten Pterigoid Vertikal Düzleme dik olacak şekilde yatay yönde çizilen çiziyi kestiği nokta (dil alt noktası) ile Frankfort Horizontal Düzleme arasındaki uzunluk.
32. H-PtV: Hyoid'den Pterigoid Vertikal Düzleme uzatılan dikmenin uzunluğu.
33. H-FH: Hyoid'den Frankfort Horizontal Düzleme uzatılan dikmenin uzunluğu.
34. PAS: Pterigoid Vertikal Düzleme dik olacak şekilde glossopiglotik çentigin tepe noktasından geçen farinks arka duvarı ve dil kökü arasındaki mesafe.
35. Yumuşak damak uzunluğu: Yumuşak damak alt ucu ile Spina Nazalis Posterior arasındaki mesafe.
36. Nazofarinks alanı: N-Ba doğrusuna dik açı yapacak şekilde Spina Nazalis Posteriordan çizilen Adenoid dokuya kesen doğru ile Ad.2-PNS doğruları arasında kalan ve posteriorda farinks arka duvarı ile sınırlı alan.
37. Orafarinks alanı: Üstte Ad. 1-PNS, alta Xi noktasından Pterigoid Vertikal Düzleme uzatılan dikme, arkada farinks arka duvarı ve önde yumuşak damak ile sınırlı alan.

38. Laringofarinks alanı: Üstte Xi noktasından Pterigoid Vertikal Düzleme uzatılan dikme, alta glossoepiglotik çentiğin tepe noktasından geçen Pterigoid Vertikal Düzleme uzatılan dikme, arkada farinks arka duvarı ve önde dil kökü ve yumuşak damak ile sınırlı alan.

BULGULAR

OSA ve kontrol gruplarına ait ortalama değerler tablo hâlinde sunulmuştur (Tablo-I).

OSA grubu ile kontrol grupları istatistiksel olarak karşılaştırıldığında:

1- OSA ve iskeletsel 1. Sınıf kontrol grubunun karşılaşılması (Tablo-II):

OSA grubunda CVT/SN açısından istatistiksel olarak önemli artış ($p<0.001$) ve Yumuşak Damak Uzunlığında istatistiksel olarak önemli artış bulunmuştur ($p<0.05$).

2- OSA ve iskeletsel 2. Sınıf kontrol grubunun karşılaşılması (Tablo-III):

OSA grubunda CVT/SN açısından ve H-FH mesafesinde istatistiksel olarak önemli bir artış ($p<0.001$), ANB açısından ve PNS-Ba mesafesinde istatistiksel olarak önemli bir azalma ($p<0.01$), Ad2-PNS, N-Me ve PAS mesafeleri ile Yumuşak Damak Uzunlığında önemli artış ($p<0.05$), ve nazofarinks alanında istatistiksel olarak önemli bir azalma ($p<0.001$), S-PtV mesafesinde ise önemli azalma ($p<0.05$) tespit edilmiştir.

3- OSA ve iskeletsel 3. Sınıf kontrol grubunun karşılaşılması (Tablo IV): OSA grubunda CVT/SN ve ANB açıları ile ANS-PNS, UTP-PtV, LTP-PtV mesafelerinde, Yumuşak Damak Uzunlığındaki artışlar istatistiksel olarak önemli bulunmuştur ($p<0.001$). SNB ve ArGoMe açıları ile Go-Me ve Pog-PtV mesafelerindeki azalmalar ($p<0.01$) ile nazofarinks ve laringofarinks alanlarındaki istatistiksel olarak önemli bulunmuştur ($p<0.001$). UTP-FH, H-FH ve H-PtV mesafelerindeki artışlar istatistiksel olarak önemli bulunmuştur ($p<0.01$).

TARTIŞMA

Çalışmamızda, intrakraniel sefalometrik açısal, çizgisel ve alan ölçümleri yardımcı ile OSA olgularına ait ortak özellikler ortaya konmaya ve iskeletsel 1, 2. ve 3. Sınıf olgulardan oluşan kontrol grupları ile istatistiksel olarak karşılaştırarak OSA olgularının kontrol grupları ile benzer ve farklı yönleri araştırılmaya çalışılmıştır. Kontrol grubu iskeletsel subgruplara ayrılmasına karşın OSA grubunda sınıflama yapılmamıştır, çünkü araştırmamızın hedefi zaten OSA grubunun hangi kontrol grubuna daha yakın olduğunu ve OSA'yı diğer grplardan ayıran ortak özelliklerin tespiti yöneliktir. Baş ve boyun postürünün gel-

şiminde primer faktörün farenksin gelişimi ve havayolu-nun açık tutulması olduğu, nazal obstruksiyonlarda baş ve boyun postürünün etkilendiği servikal kolon eğiminin protruksiv açıldığı ve etkilenen servikal postür ile kranio-fasiyal morfolojinin etkilendiği birçok araştırcı tarafından ortaya konmuştur (9, 18, 19). Ayrıca nazal obstruksiyonun ağız solunumuna bağlı olarak dilin aşağı ve öne hareketi ve bununla birlikte hyoid kemiğin öne ve aşağı hareketi, total ön yüz yüksekliğinde artış, arka yüz yüksekliğinde azalma, alt çenenin posterior rotasyonuna bağlı olarak alt ön yüz yüksekliğinde artış ve ön açık kapanış tablosunun ortaya çıkması bir çok araştırcı tarafından rapor edilmiştir (6, 11, 13, 14, 17, 18).

Konvansiyonel yöntemlerle elde edilen bulgularımızda OSA grubunda kranioservikal açıda (CVT/SN) görülen artış, araştırcıların doğal baş postüründe elde ettikleri bulgular ile aynı doğrultudadır (9, 18, 19). OSA ve kontrol grupları karşılaştırılırken yöntem standart tutulmasına karşın doğal baş postürünün esas alınmasının daha uygun olacağrı kanısındayız. Bazı araştırcılar SN mesafesinin S noktasının vertikal ve sagittal yönde anatomi olara farkılılık göstermesinden dolayı çok daha fazla güvenilir olan eksternal gerçek ve horizontal vertikal referans düzlemlerine göre sefalometrik analizlerin doğal baş boyun postürünü yansıtacağını belirtmişlerdir (14, 16, 17). Araştırmamızda Sellanın Basion ve Artiküler noktalarla yaptığı açı ve SN mesafesi ile SN/FH açıları istatistiksel açıdan önemli bulunmamasına rağmen Sella noktasının 2. Sınıf kontrol grubunda PtV den biraz uzaklaşması istatistiksel olarak önemli bulunmuştur ve araştırcıların bulguları ile benzer niteliktedir (12, 14, 16).

Protruksiv servikal kolona sahip bireylerde ön yüz yüksekliğinde artış arka yüz yüksekliğinde azalma görülmektedir. Ön yüz yüksekliğindeki bu artışın özellikle alt ön yüz bölgesinden kaynaklandığı ve ön yüz-arka yüz oranındaki (Jarabak oranı) artışın dik yön büyümeye modeli gösteren bireylerde görüldüğü belirtilmektedir (14). Bulgularımızda N-Me mesafesinde yalnızca 2. Sınıf olgularda istatistiksel olarak azalma tespit edilmiş ancak arka yüz yüksekliğinde ve ön yüz/arka yüz oranında önemli farklılık bulunmamıştır.

OSA grubunda beklenen üst ve alt çenelerde retruzyon, alt çenenin posterior rotasyonu, kısa korpus ve ramus, alt çene düzleminin kafa kaidesi-palatal düzlem ve okluzal düzlemlerle yaptığı açılarda artış (6, 14, 18), bulgularımızda istatistiksel olarak önemli bulunmamıştır.

3. Sınıf olgularda görülen Go-Me mesafesindeki (korpus boyu), gonial açıdaki SNB açısından ve Pog-PtV mesafesindeki artışlar ve ANB açısından azalma istatistiksel olarak önemli bulunmuştur. Ancak bu değişiklikler OSA grubu ile olan farklılıklar değil 3. Sınıf olguların karakteristik özelliklerini yansımaktadır.

Tablo-I: OSA, I. Sınıf, II. Sınıf ve III. Sınıf gruplara ait ortalama değerler

	O.S.A.	I.SINIF	II.SINIF	III.SINIF
1. SNA	79.32 + 5.217	79.47 + 3.679	83.10 + 3.858	79.35 + 4.944
2. SNB	77.72 + 4.821	76.90 + 3.719	77.10 + 3.071	86.70 + 3.499
3. ANB	2.68 + 3.091	2.45 + 1.223	6.00 + 1.810	-7.35 + 0.592
4. NSBa	128.32+7.215	129.02+5.242	129.87+4.309	126.20+5.717
5. NSAr	124.67+7.196	124.95+6.573	125.00+4.746	120.90+6.025
6. ArGoMe	122.12+8.531	120.47+7.559	119.45+7.563	132.80+6.346
7. SN/FH	8.57 + 3.887	9.32 + 5.740	7.10 + 2.895	8.57 + 2.771
8. SN/0cc	14.95 + 5.175	14.27 + 5.561	16.30 + 0.050	14.75 + 3.668
9. SN/ANSPNS	7.75 + 3.715	8.80 + 3.951	8.40 + 2.904	7.87 + 3.670
10. SN/MG0	32.95 + 8.433	31.60 + 7.087	31.70 + 7.347	33.52 + 8.348
11. CVT/SN	118.50+9.07	110.25+8.332	106.30+7.650	105.20+9.817
12. SN	79.32 + 5.217	79.47 + 3.679	83.10 + 3.858	79.35 + 4.944
13. S-FH	21.77 + 3.439	21.07 + 3.018	20.80 + 2.330	22.85 + 2.601
14. S-PtV	15.67 + 2.686	16.40 + 2.800	17.50 + 2.844	15.67 + 2.210
15. ANS-PNS	55.77 + 3.629	53.95 + 4.480	56.70 + 4.231	53.35 + 4.029
16. PNS-Ba	44.80 + 3.205	48.05 + 3.110	47.10 + 3.051	47.10 + 4.778
17. Ad1-PNS	26.62 + 3.601	24.72 + 3.234	25.70 + 4.014	25.95 + 4.273
18. Ad2-PNS	22.55 + 2.459	21.00 + 2.714	20.15 + 3.422	21.75 + 3.338
19. Ar-Go	57.30 + 6.775	54.60 + 7.221	55.05 + 5.365	57.30 + 5.759
20. Go-Me	76.45 + 4.968	75.25 + 4.929	76.40 + 8.958	85.45 + 5.968
21. Pog-FH	96.95 + 9.708	92.45 + 8.249	93.10 + 6.340	99.00 + 8.602
22. Pog-PtV	49.00+10.478	47.60+5.113	45.45+8.075	66.90+8.388
23. N-Me	135.35+10.44	130.10+9.08	129.30+7.67	136.80+10.80
24. N-ANS	58.30 + 4.998	56.90 + 4.315	57.25 + 3.058	59.25 + 3.850
25. ANS-Me	78.40 + 8.242	73.75 + 6.927	75.15 + 6.409	79.75 + 7.361
26. S-Go	92.95 + 8.035	89.40 + 8.197	90.05 + 7.178	92.25 + 6.154
27. S-Go/N-Me	68.50 + 6.660	68.35 + 5.556	69.50 + 5.021	67.05 + 5.325
28. UTP-PtV	-9.75 + 6.471	-10.65+5.130	-10.40+9.740	6.45+7.380
29. UTP-FH	48.62 + 5.036	48.27 + 4.057	46.00 + 5.409	45.15 + 2.978
30. LTP-PtV	-26.57 + 6.61	-22.65 + 7.71	-24.00 + 7.54	15.906+0.608
31. LTP-FH	82.30 + 6.877	81.65+10.71	78.65 + 8.486	81.75+7.779
32. H-PtV	10.77+10.032	-13.20+7.075	-10.75+6.228	-0.95+8.325
33. H-FH	99.65+9.146	92.90+11.101	89.50+7.214	94.55+6.476
34. PAS	13.70+3.229	11.95+4.260	11.10+3.796	15.30+4.635
35. Yum.dam.uz.	45.22+4.213	38.10+4.204	37.15+5.204	35.30+4.027
36. Nazofarnx.alanı	273.58+39.09	428.42+104.14	404.88+111.03	415.37+87.86
37. Orafarinx.alanı	295.15+68.52	295.88+87.59	293.36+77.13	327.06+74.26
38. Lar.farinx.alanı	353.56+84.93	352.33+135.95	354.84+121.30	631.67+214.29

Tablo-II: OSA ve I. Sınıf kontrol grupları arasında istatistiksel anlamlı değişiklikler.

	O.S.A.	I.SINIF	p
1. SNA	79.32 + 5.217	79.47 + 3.679	
2. SNB	77.72 + 4.821	76.90 + 3.719	
3. ANB	2.68 + 3.091	2.45 + 1.223	
4. NSBa	128.32+7.215	129.02+5.242	
5. NSAr	124.67+7.196	124.95+6.573	
6. ArGoMe	122.12+8.531	120.47+7.559	
7. SN/FH	8.57 + 3.887	9.32 + 5.740	
8. SN/0cc	14.95 + 5.175	14.27 + 5.561	
9. SN/ANSPNS	7.75 + 3.715	8.80 + 3.951	
10. SN/MGo	32.95 + 8.433	31.60 + 7.087	
11. CVT/SN	118.50+9.07	110.25+8.332	***
12. SN	79.32 + 5.217	79.47 + 3.679	
13. S-FH	21.77 + 3.439	21.07 + 3.018	
14. S-PtV	15.67 + 2.686	16.40 + 2.800	
15. ANS-PNS	55.77 + 3.629	53.95 + 4.480	
16. PNS-Ba	44.80 + 3.205	48.05 + 3.110	*
17. AdI-PNS	26.62 + 3.601	24.72 + 3.234	
18. Ad2-PNS	22.55 + 2.459	21.00 + 2.714	
19. Ar-Go	57.30 + 6.775	54.60 + 7.221	
20. Go-Me	76.45 + 4.968	75.25 + 4.929	
21. Pog-FH	96.95 + 9.708	92.45 + 8.249	
22. Pog-PtV	49.00+10.478	47.60+5.113	
23. N-Me	135.35+10.44	130.10+9.08	
24. N-ANS	58.30 + 4.998	56.90 + 4.315	
25. ANS-Me	78.40 + 8.242	73.75 + 6.927	
26. S-Go	92.95 + 8.035	89.40 + 8.197	
27. S-Go/N-Me	68.50 + 6.660	68.35 + 5.556	
28. UTP-PtV	-9.75 + 6.471	-10.65+5.130	
29. UTP-FH	48.62 + 5.036	48.27 + 4.057	
30. LTP-PtV	-26.57 + 6.61	-22.65 + 7.71	
31. LTP-FH	82.30 + 6.877	81.65 +10.71	
32. H-PtV	10.77+10.032	-13.20+7.075	
33. H-FH	99.65+9.146	92.90+11.101	
34. PAS	13.70+3.229	11.95+4.260	
35. Yum.dam.uz	45.22+4.213	38.10+4.204	***
36. Nazofarnx.alanı	273.58+39.09	428.42+104.14	***
37. Orafarinx.alanı	295.15+68.52	295.88+87.59	
38. Lar.farinx.alanı	353.56+84.93	352.33+135.95	

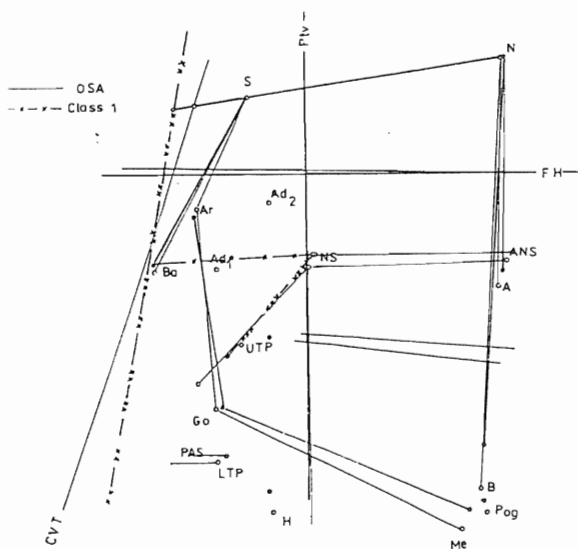
Tablo-III: OSA ve II. Sınıf kontrol grupları arasında istatistiksel anlamlı değişiklikler

	O.S.A.	II.SINIF	p
1. SNA	79.32 + 5.217	83.10 + 3.858	
2. SNB	77.72 + 4.821	77.10 + 3.071	
3. ANB	2.68 + 3.091	6.00 + 1.810	**
4. NSBa	128.32+7.215	129.87+4.309	
5. NSAr	124.67+7.196	125.00+4.746	
6. ArGoMe	122.12+8.531	119.45+7.563	
7. SN/FH	8.57 + 3.887	7.10 + 2.895	
8. SN/0cc	14.95 + 5.175	16.30 + 0.050	
9. SN/ANS/PNS	7.75 + 3.715	8.40 + 2.904	
10. SN/MGo	32.95 + 8.433	31.70 + 7.347	
11. CVT/SN	118.50+9.07	106.30+7.650	***
12. SN	79.32 + 5.217	83.10 + 3.858	
13. S-FH	21.77 + 3.439	20.80 + 2.330	
14. S-PtV	15.67 + 2.686	17.50 + 2.844	*
15. ANS-PNS	55.77 + 3.629	56.70 + 4.231	
16. PNS-Ba	44.80 + 3.205	47.10 + 3.051	**
17. Ad1-PNS	26.62 + 3.601	25.70 + 4.014	
18. Ad2-PNS	22.55 + 2.459	20.15 + 3.422	*
19. Ar-Go	57.30 + 6.775	55.05 + 5.365	
20. Go-Me	76.45 + 4.968	76.40 + 8.958	
21. Pog-FH	96.95 + 9.708	93.10 + 6.340	
22. Pog-PtV	49.00+10.478	45.45+8.075	
23. N-Me	135.35+10.44	129.30+7.67	*
24. N-ANS	58.30 + 4.998	57.25 + 3.058	
25. ANS-Me	78.40 + 8.242	75.15 + 6.409	
26. S-Go	92.95 + 8.035	90.05 + 7.178	
27. S-Go/N-Me	68.50 + 6.660	69.50 + 5.021	
28. UTP-PtV	-9.75 + 6.471	-10.40+9.740	
29. UTP-FH	48.62 + 5.036	46.00 + 5.409	
30. LTP-PtV	-26.57 + 6.61	-24.00 + 7.54	
31. LTP-FH	82.30 + 6.877	78.65 + 8.486	
32. H-PtV	10.77+10.032	-10.75+6.228	
33. H-FH	99.65+9.146	89.50+7.214	***
34. PAS	13.70+3.229	11.10+3.796	*
35. Yum.dam.uz.	45.22+4.213	37.15+5.204	*
36. Nazofarnx.alanı	273.58+39.09	404.88+111.03	***
37. Orafarinx.alanı	295.15+68.52	293.36+77.13	
38. Lar.farinx.alanı	353.56+84.93	354.84+121.30	

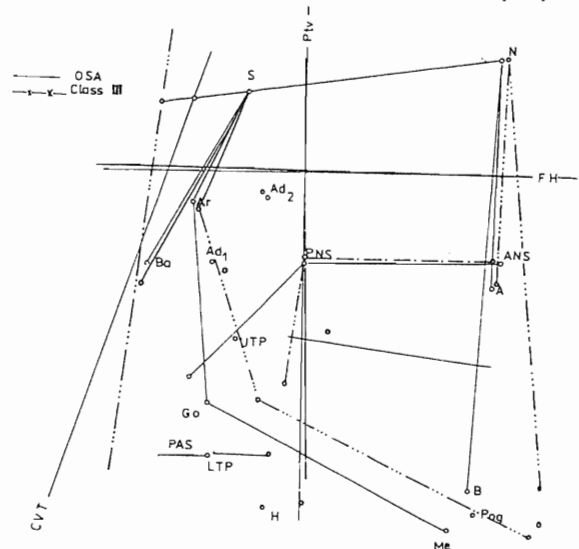
Tablo-IV: OSA ve III. Sınıf kontrol grubları arasında istatistiksel anlamla değişimler.

	O.S.A.	III.SINIF	p
1. SNA	79.32 + 5.217	79.35 + 4.944	
2. SNB	77.72 + 4.821	86.70 + 3.499	**
3. ANB	2.68 + 3.091	-7.35 + 0.592	***
4. NSBa	128.32+7.215	126.20+5.717	
5. NSAr	124.67+7.196	120.90+6.025	
6. ArGoMe	122.12+8.531	132.80+6.346	**
7. SN/FH	8.57 + 3.887	8.57 + 2.771	
8. SN/0cc	14.95 + 5.175	14.75 + 3.668	
9. SN/ANSPNS	7.75 + 3.715	7.87 + 3.670	
10. SN/MGo	32.95 + 8.433	33.52 + 8.348	
11. CV1/SN	118.50+9.07	105.20+9.817	***
12. SN	79.32 + 5.217	79.35 + 4.944	
13. S-FH	21.77 + 3.439	22.85 + 2.601	
14. S-PtV	15.67 + 2.686	15.67 + 2.210	
15. ANS-PNS	55.77 + 3.629	53.35 + 4.029	***
16. PNS-Ba	44.80 + 3.205	47.10 + 4.778	
17. Ad1-PNS	26.62 + 3.601	25.95 + 4.273	
18. Ad2-PNS	22.55 + 2.459	21.75 + 3.338	
19. Ar-Go	57.30 + 6.775	57.30 + 5.759	
20. Go-Me	76.45 + 4.968	85.45 + 5.968	**
21. Pog-FH	96.95 + 9.708	99.00 + 8.602	
22. Pog-PtV	49.00+10.478	66.90+8.388	**
23. N-Me	135.35+10.44	136.80+10.80	
24. N-ANS	58.30 + 4.998	59.25 + 3.850	
25. ANS-Me	78.40 + 8.242	79.75 + 7.361	
26. S-Go	92.95 + 8.035	92.25 + 6.154	
27. S-Go/N-Me	68.50 + 6.660	67.05 + 5.325	
28. UTP-PtV	-9.75 + 6.471	6.45+7.380	***
29. UTP-FH	48.62 + 5.036	45.15 + 2.978	**
30. LTP-PtV	-26.57 + 6.61	15.906+0.608	***
31. LTP-FH	82.30 + 6.877	81.75+7.779	
32. H-PtV	10.77+10.032	-0.95+8.325	**
33. H-FH	99.65+9.146	94.55+6.476	**
34. PAS	13.70+3.229	15.30+4.635	
35. Yum.dam.uz	45.22+4.213	35.30+4.027	***
36. Nazofarnx.alanı	273.58+39.09	415.37+87.86	***
37. Orafarinx.alanı	295.15+68.52	327.06+74.26	
38. Lar.farinx.alanı	353.56+84.93	631.67+214.29	***

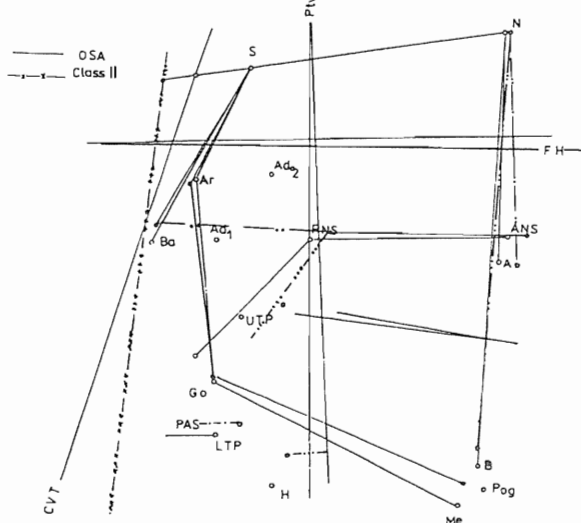
Obstructive Sleep Apnea



Şekil-4: OSA ve I. Sınıf olgulara ait ortalama değerlerden oluşan sefalometrik poligonların SN düzlemi üzerinde süperpozisyonu.



Şekil-6: OSA ve III. Sınıf olgulara ait ortalama değerlerden oluşan sefalometrik poligonların SN düzlemi üzerinde süperpozisyonu.



Şekil-5: OSA ve II. Sınıf olgulara ait ortalama değerlerden oluşan sefalometrik poligonların SN düzlemi üzerinde süperpozisyonu.

Nazofarinksin sagital yön genişliğini yansitan Ad₂-PNS mesafesinde yalnızca 2. Sınıf olgularda istatistiksel olarak azalma göze çarpmaktadır bunun da palatalin düzlem eğimi ve üst ön yüz yüksekliğindeki azalmadan kaynaklandığı düşünülmektedir.

Posterior nazal spina ile farenks arka duvarı arasındaki uzaklığı gösteren Ad₁-PNS mesafesi OSA grubu ve kontrol grupları arasında farklılık arzetmemektedir. Bu bölgenin kemik yapılarını yansitan PNS-Ba mesafesinde ise 2. Sınıf olgularda artma görülmemesine rağmen yumuşak dokular bu değişikliğe uyum göstermemiştirlerdir.

Yumuşak damağın uzunluğundaki artış OSA grubunda her üç kontrol grubıyla karşılaştırıldığında istatistiksel olarak önemli bulunmuştur.

Orofarinksin alt sınırını bir başka deyişle laringofarinksin üst sınırını oluşturan glossoepiglotik çentigin üst noktası hizasında farinks genişliğini gösteren PAS mesafesinde 2. Sınıf olgularda istatistiksel olarak azalma tespit edilmiştir. OSA olgularında PAS mesafesinin geniş bulunması ölçümün glossoepiglotik çentik hizasında yapılması ve bu bölgede pozitif hava basıncına bağlı bir genişlemenin sözkonusu olduğunu düşündürmektedir.

Nazofarinks alanında daralma OSA grubunda her üç kontrol grubu ile karşılaştırıldığında istatistiksel olarak önemli bulunmuştur. laringofarinks alanındaki daralma ise 3. Sınıf kontrol grubu ile karşılaştırıldığında istatistiksel olarak önemlili bulunmuştur. OSA ve kontrol grupları arasında orafarinks alanında anlamlı farklılık bulunmaması ise; OSA'lı olgularda uykuda yatar pozisyonundaki hipotonik dilin geriye hareketi ile orafaringeal alanın daralması sözkonusu iken radiografi sırasında basın sefalostata dik pozisyonda yerleştirilmesine bağlı olarak dilin önde konumlanmış olabileceği düşünülmektedir.

Dilin üst arka noktasının hareketleri (PtV ye ve FH a göre) izlenerek I. ve 2. Sınıf olgularla karşılaştırıldığı zaman OSA grubunda beklenen (6, 14, 18) öne ve aşağıya hareket görülmemektedir. 3. Sınıf olgularla karşılaştırıldığında ortaya çıkan farklılığın ise, 3. Sınıf olguların karakteristik özelliklerinden kaynaklandığı düşünülmektedir. Hyoid kemik pozisyonu her üç grup ile karşılaştırıldığında farklılık göstermemektedir. Hyoid kemik hyoid altı ve hyoid üstü kaslarından çok farinks ve servikal vertebralalar-

dan etkilenmektedir. Bu yüzden hyoid kemikle ilgili ölçümlerde vertebralara ait referans noktalarının kullanılımalarının daha doğru olacağı kanısı utoanmıştır.

Her üç grup için oluşturulan sefalometrik poligonlar izlenliğinde (Şekil 4, 5, 6) OSA grubuna ait kranioservikal açıdaki ve yumuşak damak uzunluğundaki artış belirgin olarak ortaya çıkmaktadır. Ağızdan nefes alan ya da nazal obstruksiyonlu bireylerde ortaya çıkan değişikliklerin OSAlı olgularda izlenmemesinin bu hastaların büyümeye ve gelişmelerini tamamlamış olmalarından bir başka deyişle OSAlı olguların büyümeye ve gelişim süresince nazal obstruksiyona maruz kalmalarından kaynaklandığı düşünülmektedir.

SONUÇ

OSAlı olguların hiçbir iskeletsel sınıflama gözönüne alınmaksızın seçilmesine rağmen sefalometrik olarak iskeletsel I. Sınıf olgulara uyum göstermeleri ve III. Sınıf olgularla sefalometrik olarak oldukça farklılık göstermeleri düşündüründür.

Bulgularımızda, OSA grubunu her üç gruptan ayıran özellikler; kranioservikal açıdaki ve yumuşak damak uzunluğundaki artış ile nazofaringeal alandaki daralma-dır.

KAYNAKLAR

- 1- Barış İ. Obstruktif Uyku Apnesi Sendromu. Ankara, Türkiye Akciğer Hastalıkları Vakfı Yayınları sayfa:1-5, 1993.
- 2- Bengi O, Ölmez H, Sağdıç D, Güler M. Rigid Fiksasyonlu SSRO uygulanan Olgularda Hypopharyngeal Hava Yolu değişiklikleri ile Hyoid Kemik ve Dil Pozisyonlarının İncelenmesi. GATA Bülteni 38:112-115, 1996.
- 3- Brown H, McClean PA, Baucher R. Changes in Pharyngeal Cross Sectional Area with Posture and Application of Continuous Positive Airway Pressure in Patients with Obstructive Sleep Apnea. Am Rev Resir Dis 136:628-632, 1987.
- 4- Enacar A, Aksoy AÜ, Haydar B, Aras K. Changes in Hypopharyngeal Airway Space and in Tongue and Hyoid Bone Positions Following the Surgical Correction of Mandibular Prognathism. Int Adult Orthodontic Surg 9 (4): 285-290, 1994.
- 5- Greco JM, Froliberg U, Sickels JEW. Longterm Airway Space Changes After Mandibular Setback Using Bilateral Sagittal Split Osteotomy. Int J Oral Maxillofac Surg 19:103-105, 1990.
- 6- Gülnar A, Ceylan İ. Farklı Dik Yön Yüz Gelişimine Sahip Bireylerde Doğal Baş Konumu ve Hyoid Kemiğin Konumunun İncelemesi. Türk Ortodonti Dergisi 8 (2):165-171, 1995.
- 7- Fairbanks DNF. Snoring: An Overview with Historical Perspectives In: Fairbanks DNF, Fujita S. Snoring and Obstructive Sleep Apnea. 2 nd ed Newyork, Raven Press Ltd pp:1-6, 1994.
- 8- Fujita S, Woodson T, Clark JL. Laser Midline Glossectomy as a Treatment for Obstructive Sleep Apnea. Laryngoscope 101:80-84, 1991.
- 9- Hellsing E, Forsberg CM, Linder-Aronson S, Sheikholeslam A. Changes in Postural EMG Activity in Neck and Masticatory Muscles Following Obstruction of the Nasal Airways. Eur J Orthod 8:247-253, 1986.
- 10- Hudgel DW, Harasick T. Fluctuation in Timing of Upper Airway and Chest Wall Inspiratory Muscle Activity in Obstructive Sleep Apnea. J Appl Physiol 69(2):443-450, 1990.
- 11- Koopman CF, Moran WB. Sleep Apnea-An Historical Perspective. Otolaryngol Clin North Amer 23:571-575, 1990.
- 12- Lyberg T, Krogstad O. Cephalometric Analysis of a Patient with obstructive Sleep Apnea Syndrome. J Laryngology Otology 103:293-297, 1989.
- 13- Masafumi T, Lowe A, Eung KP. Obstructive Sleep Apnea Subtypes by Cluster Analysis. Am J Orthod Dentofac Orthop 101:533-542, 1992.
- 14- Özbelk M, Erdem D. Farklı Servikal Posture Sahip Bireylerde Hava Yolu Kapasitesi ile Vertikal Kraniofasiyal Morfoloji Arasındaki İlişkiler. Türk Ortodonti Dergisi 6(2): 160-168, 1993.
- 15- Sher AE. Obstructive Sleep Apnea: Diagnosis by History Physical Examination and Special Study. In: Fairbanks DNV, Fujita R. Snoring and Obstructive Sleep Apnea. 2 nd ed Newyork, Rawen Press Ltd pp:17-30, 1994.
- 16- Solow B, Owesen J, Nielsen WP. Head Posture in Obstructive Sleep Apnea. Eur J Orthod 15 (2):107-14, 1993.
- 17- Tallgren A, Solow B. Hyoid Bone Position Facial Morphology and Head Posture in Adults. Eur J Orthod 9:1-8, 1987.
- 18- Tangugsorn V, Skadvedt O, Krogstad O, Lyberg T. Obstructive Sleep Apnea: A Cephalometric Study Part I Cervico Craniofacial Skeletal Morphology. Eur J Orthod 17:45-96, 1995.
- 19- Tangugsorn V, Skadvedt O, Krogstad O, Lyberg T. Obstructive Sleep Apnea: A Cephalometric Study Part II Uvuloglossoppharengal Morphology. Eur J Orthod 17:57-65, 1995.
- 20- Uğur T. Ortodontide Nazorespiratuar Değerlendirmeler. Türk Ortodonti Dergisi 7 (1): 79-85, 1994.
- 21- Uzel İ, Erdoğan E, Sağdıç D. Yüzün Dik Yön Açısal İlişkileri ile Hyoid Kemiğin Konumu Arasındaki Bağıntının Sefalometrik Olarak Belirlenmesi. Oral Dergisi 3 (30):6-10, 1986.
- 22- Wickwie NA, White RP, Profit WR. The Effects of Mandibular Osteotomy and Tongue Position. J Oral Surg 30:184-190, 1972.

YAZIŞMA ADRESİ:

Yrd. Doç. Dr. Hüseyin ÖLMEZ
GATA Dişhekimiği Bilimleri Merkezi Ortodonti A.D.
06018 Etlik/ANKARA